

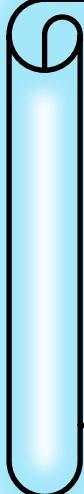
كلية العلوم

القسم : المهنرياء

السنة : الرابعة



٩



المادة : حالة صلبة ٢

المحاضرة : الرابعة/نظري/

{{{ A to Z مكتبة }}}  
مكتبة A to Z

مكتبة A to Z Facebook Group

كلية العلوم ، كلية الصيدلة ، الهندسة التقنية



يمكنكم طلب المحاضرات برسالة نصية (SMS) أو عبر (What's app-Telegram) على الرقم 0931497960



## 5- نموذج الارتباط الشديد Tight-Binding Model

لقد بدأنا هذا الفصل بمناقشة نموذج وصفي للبنية الإلكترونية لأجسام صلبة تجتمع فيها مستويات الطاقة الذرية لعدد كبير جداً من الذرات التي تكونت هذه الأجسام **لتشكيل عصابة مستمرة من الحالات**، إلا أننا تخلينا عن هذا التوصيف وتعاملنا مع الإلكترونات على أنها حرّة - تماماً *Free Electrons* أو لا شبه - حرّة *Nearly Free Electrons* ثانياً. فعلياً، أدى ذلك إلى توزيع شبه مستمر *Quasi-continuous* لمستويات الطاقة بفجوات طاقية تفصل فيما بينها. نعود الآن إلى التوصيف الذي يبدأ بالحالات الذرية من خلال تصميم تابع موجة بلوخ مؤلف من تركيب خطّي لمدارات ذرية (LCAO)؛ تُعرف هذه الطريقة **بتقريب الرابطة الشديدة Tight-Binding**.

- يُعد تقريب الإلكترون شبه - الحر الذي قمنا بدراسته في الفقرة الأخيرة أكثر من نقطة انطلاق طبيعية لوصف المعادن،
- في حين يُعد تقريب الرابطة الشديدة نقطة الانطلاق الأساسية من أجل البُلورات المترابطة تساهمياً أو من أجل الإلكترونات الأكثر تمواضاً في المعادن، كـالإلكترونات  $d$  في المعادن الانتقالية.
- وفي نهاية المطاف، كلا التقديرتين جيدان وصقلهما يؤدي إلى نتائج مُرضية بعض الشيء. إلا أن دراسة تقريب الرابطة الشديدة هنا تسمح لنا بالحصول على نظرة أكثر عمقاً لمعنى بنية العصابات الطاقية للأجسام الصلبة.

ندرس تقريب الرابطة الشديدة بأبسط أشكاله، إذ **نبأ** من هامiltonون الذرات التي تُولِّف الجسم الصلب (بدراسة نوع واحد فقط من الذرات بغضّن التبسيط)، والذي يُعطى بالشكل الآتي:

$$H_{\text{at}} = -\frac{\hbar^2 \nabla^2}{2m_e} + V_{\text{at}}(\vec{r}), \quad (48-6)$$

حيث  $V_{\text{at}}$  الكمون الذري - أحادي الإلكترون.

تمتلك الذرات سويات طاقة مختلفة،  $E$ ، وتتابع موجية موافقة لها. عندما نجمع الذرات مع بعضها بعضًا ككل، لتشكّل جسمًا صلباً، نتوقع أن تتحوّل كل سوية طاقية إلى عصابة طاقية في الجسم الصلب. يمكننا على سبيل المثال العودة إلى ذرات  $Na$  التي تعرّفنا عليها في بداية هذا الفصل ودراسة العصابة الطاقية الحاصلة من الحالة  $3s$  ذات الطاقة  $E_{3s}$  والتابع الموجي  $\phi_{3s}(\vec{r})$ .

إذا كان لدينا ذرة في كل نقطة من النقاط  $\vec{R}$  الواقعة على **طريق برافي**، فيمكننا كتابة الهاميلتون من أجل الجسم الصلب بالشكل الآتي:

$$H_{\text{sol}} = -\frac{\hbar^2 \nabla^2}{2m_e} + \sum_{\vec{R}} V_{\text{at}}(\vec{r} - \vec{R}) = -\frac{\hbar^2 \nabla^2}{2m_e} + V_{\text{at}}(\vec{r}) + \sum_{\vec{R} \neq 0} V_{\text{at}}(\vec{r} - \vec{R}). \quad (49-6)$$

- الح الأول هو الطاقة الحرّية للإلكترون **المفرد الذي** ندرسها؛
- الح الثاني هو مجموع الكمونات الذرية لجميع الذرات في الجسم الصلب. وللكمون في هذا الهاميلتون **دورية الشبكة البلورية**، كما يجب.

- يُظهر الطرف الأيمن من المعادلة أنه يمكننا تقسيم هذه الكمون، بأي طريقة نريدها، فعلى سبيل المثال: إلى كمون الذرة الواقعـة في المبدأ،  $V_{\text{at}}(\vec{r})$ ، وكمون باقـي الجسم الصلـب. يمكن التعبير عن ذلك أيضاً بالكتـابة الآتـية:

$$H_{\text{sol}} = -\frac{\hbar^2 \nabla^2}{2m_e} + V_{\text{at}}(\vec{r}) + v(\vec{r}) = H_{\text{at}} + v(\vec{r}), \quad (50-6)$$

حیث

$$v(\vec{r}) = \sum_{\vec{R} \neq 0} V_{\text{at}}(\vec{r} - \vec{R}). \quad (51-6)$$

يمكن أن تظهر المعادلة (6-50) بمثابة هامتون من أجل ذرة تقع في المبدأ مضاد إليه كمون تصحيح ما ناتج من كل الذرات الأخرى.

نحصل عندها على المعادلة الآتية:

$$\begin{aligned} & \int \phi_n^*(\vec{r}) H_{\text{sol}} \phi_n(\vec{r}) d\vec{r} = \int \phi_n^*(\vec{r}) (H_{\text{at}} + v(\vec{r})) \phi_n(\vec{r}) d\vec{r} = \\ & = \int \phi_n^*(\vec{r}) H_{\text{at}} \phi_n(\vec{r}) d\vec{r} + \int \phi_n^*(\vec{r}) v(\vec{r}) \phi_n(\vec{r}) d\vec{r} = \\ & = E_n + \int \phi_n^*(\vec{r}) v(\vec{r}) \phi_n(\vec{r}) d\vec{r} = E_n - \beta, \end{aligned} \quad (52-6)$$

حيث  $\beta$  مقدار انزياح صغير للسوية الطاقية الذرية ينتج من وجود كمونات الذرات الأخرى.

- إذا كانت الذرات بعيدة عن بعضها البعض كفايةً، فإن  $\beta = 0$  ، لأن التابع الموجي  $(\vec{r}_n \phi)$  سيتقاصل حتى الصفر قبل أن يُصبح الكمون الناتج عن الذرات المجاورة عند الموضع  $0 \neq \vec{R}$  أكبر من الصفر بشكلٍ ملحوظٍ.
  - نرى بسهولة أن التابع الموجي الذي المتمركّز في أي موقع آخر،  $\vec{R}$  ، سيكون حلاً لمعادلة شرودنغر أيضاً من أجل الهاambilتون (49-6):

لفعل ذلك، علينا فقط إعادة كتابة هامiltonون بحيث يكون متعرجاً على الـ  $R$  مضافاً إليه الكمون الناتج من كل الـ  $\dot{r}_i$ . وهكذا نجد أن نتيجة هذه المعالجة تكمن في الآتي:

من أجل جسم صلب مؤلف من  $N$  ذرة، نحصل على  $N$  حلًّا منطبقاً *Degenerate Solution* من أجل كل قيمة طاقة خاصة للهاملتون الذري. بالطبع، هذا ما كان متوقعاً، طالما أن الذرات تكون بعيدة جداً عن بعضها البعض بحيث لا تتأثر فيما بينها. و"بنية عصابات الطاقة" الناتجة ستتألف من رزم ("عصابات") عند الطاقة  $E_n$  من دون أي تعدد.

ندرس الآن حالةً أكثر أهميةً، تمتاز بوجود بعض التأثير بين الذرات المجاورة. ومن أجل ذلك، نكتب التابع الموجي للجسم الصلب؛ **كتتركيب خطٍّ للتتابع الموجية الذرية** في كل موقع،  $\bar{R}$ ، من موقع الشبكة البلورية:

حيث  $1/\sqrt{N}$  عامل التنظيم

$$\psi_{\vec{k}}(\vec{r}) = \frac{1}{\sqrt{N}} \sum_{\vec{R}} c_{\vec{k}, \vec{R}} \phi_n(\vec{r} - \vec{R}). \quad (53-6)$$

- ✓ ستتضح فائدة عامل التنظيم لاحقاً ثم أن المعاملات  $c_{\vec{k}, \vec{R}}$  لم تُعين بعد؛ فهي ستتعلق بالتجه الموجي،  $\vec{k}$ .
- ✓ واستخدام التوابع الموجية الدُّرية،  $\phi_n(\vec{r} - \vec{R})$ ، هنا قد لا يكون صحيحاً تماماً، لأن وجود ذرات أخرى يمكنه أن يُعدّل هذه التوابع الموجية قليلاً.

ولكن في الحالة الراهنة **نُفضل صرف النظر عن ذلك بغرض التبسيط.**

وعليه، تُعين المعاملات  $c_{\vec{k}, \vec{R}}$  الآن من الشرط (6-53) الذي يشترط أن يسلك التابع الموجي للجسم الصلب،  $(\vec{r}) \psi_{\vec{k}}$ ، سلوك موجة بلوخ، إذا كانت حللاً للمعادلة (6-49). يمكن الحصول على ذلك باختيار المعاملات بحيث تتحول المعادلة (6-53) إلى الشكل الآتي:

$$\psi_{\vec{k}}(\vec{r}) = \frac{1}{\sqrt{N}} \sum_{\vec{R}} e^{i\vec{k} \cdot \vec{R}} \phi_n(\vec{r} - \vec{R}), \quad (54-6)$$

حيث يأخذ  $\vec{k}$  القيم التي تسمح بها الشروط الدُّرية الدُّرية (5-6).

يتحقق التابع الموجي (54-6) شروط بلوخ بالشكل المنصوص عليه في المعادلة (6-28)، لأن:

$$\begin{aligned} \psi_{\vec{k}}(\vec{r} + \vec{R}') &= \frac{1}{\sqrt{N}} \sum_{\vec{R}} e^{i\vec{k} \cdot \vec{R}} \phi_n(\vec{r} - \vec{R} + \vec{R}') \\ &= \frac{1}{\sqrt{N}} e^{i\vec{k} \cdot \vec{R}'} \sum_{\vec{R}} e^{i\vec{k} \cdot (\vec{R} - \vec{R}')} \phi_n(\vec{r} - (\vec{R} - \vec{R}')) \\ &= e^{i\vec{k} \cdot \vec{R}'} \frac{1}{\sqrt{N}} \sum_{\vec{R}} e^{i\vec{k} \cdot \vec{R}''} \phi_n(\vec{r} - \vec{R}'') = e^{i\vec{k} \cdot \vec{R}'} \psi_{\vec{k}}(\vec{r}), \end{aligned} \quad (55-6)$$

حيث  $\vec{R}'' = \vec{R} - \vec{R}'$ .

نستخدم الآن التابع الموجي (55-6) لحساب بنية عصابة الطاقة المطلوبة،  $E(\vec{k})$ ، باستخدام الطريقة ذاتها التي تُستخدم من أجل **جزيء الهيدروجين**.

نفرض في الوقت الراهن، أن التوابع الموجية مستنذمة بحيث أن:

$$E(\vec{k}) = \int \psi_{\vec{k}}^*(\vec{r}) H_{\text{sol}} \psi_{\vec{k}}(\vec{r}) d\vec{r} = \frac{1}{N} \sum_{\vec{R}, \vec{R}'} e^{i\vec{k} \cdot (\vec{R} - \vec{R}')} \int \phi_n^*(\vec{r} - \vec{R}') H_{\text{sol}} \phi_n(\vec{r} - \vec{R}) d\vec{r}, \quad (56-6)$$

- حيث يجري كلا المجموعين على كل الموضع (العُقد) البلوريَّة،
- وعلى الرغم من أن الجسم الصلب الذي نقصده هو جسم محدود، فيجب أن يبقى جسمًا صلباً في سياق الشروط الدُّرية الدُّرية؛ بمعنى، حتى وإن اقتربنا من "سطح" من سطوحه، يجب أن يستمر الجسم الصلب دورياً من الجهة المقابلة لهذا السطح.
- ولذلك كل المجاميع من أجل اختيار معين  $\vec{R}'$  تبقى نفسها ويمكنا التخلص من عملية الجمع المضاعف بالإقرار بأنه لدينا  $N$  جمعاً من هذه المجاميع.

إذا وضعنا اختيارياً  $\vec{R}' = 0$ ، نحصل على المعادلة الآتية:

$$\begin{aligned} E(\vec{k}) &= \sum_{\vec{R}} e^{i\vec{k} \cdot \vec{R}} \int \phi_n^*(\vec{r}) H_{\text{sol}} \phi_n(\vec{r} - \vec{R}) d\vec{r} \\ &= e^{i\vec{k} \cdot 0} \int \phi_n^*(\vec{r}) H_{\text{sol}} \phi_n(\vec{r}) d\vec{r} + \sum_{\vec{R} \neq 0} e^{i\vec{k} \cdot \vec{R}} \int \phi_n^*(\vec{r}) H_{\text{sol}} \phi_n(\vec{r} - \vec{R}) d\vec{r}. \end{aligned} \quad (57-6)$$

وباستخدام المعادلة (52-6) نستطيع كتابة العلاقة الأخيرة بالشكل الآتي:

$$E(\vec{k}) = E_n - \beta + \sum_{\vec{R} \neq 0} e^{i\vec{k} \cdot \vec{R}} \int \phi_n^*(\vec{r}) H_{\text{sol}} \phi_n(\vec{r} - \vec{R}) d\vec{r}. \quad (58-6)$$

يمكن الآن تجزئة التكامل في المعادلة (58-6) مع الأخذ بالحساب المعادلة (50-6) إلى الشكل الآتي:

$$\begin{aligned} & \int \phi_n^*(\vec{r}) H_{\text{sol}} \phi_n(\vec{r} - \vec{R}) d\vec{r} \\ &= E_n \int \phi_n^*(\vec{r}) \phi_n(\vec{r} - \vec{R}) d\vec{r} + \int \phi_n^*(\vec{r}) v(\vec{r}) \phi_n(\vec{r} - \vec{R}) d\vec{r}. \end{aligned} \quad (59-6)$$

▪ وعادةً يُهمِّل هنا التكامل الأول في الطرف الأيمن من المعادلة الأخيرة، لأنه يحوي تابعين موجيين في عقدتين بلوريتين مختلفتين وهما يتراكبان بشكل ضعيفٍ؛

▪ والتكامل الثاني في الطرف الأيمن صغير أيضاً ولنفس السبب، ولكنه عادةً ليس صغيراً جداً، لأن الكمون  $v(\vec{r})$  يتلاقص إلى الصفر بسرعة أقل عندما يبتعد عن  $\vec{R}$ ، ولهذا السبب، يتزايد  $v(\vec{r}) \phi_n(\vec{r} - \vec{R})$  في منطقة تراكيه مع  $\phi_n^*(\vec{r})$ .

▪ تدخل الآن الرمز الآتي إلى المعادلة (59-6):

$$\gamma(\vec{R}) = - \int \phi_n^*(\vec{r}) v(\vec{r}) \phi_n(\vec{r} - \vec{R}) d\vec{r}, \quad (60-6)$$

فنحصل على العلاقة النهائية الآتية من أجل بنية عصابة الطاقة استناداً إلى المعادلة (58-6):

$$E(\vec{k}) = E_n - \beta - \sum_{\vec{R} \neq 0} \gamma(\vec{R}) e^{i\vec{k} \cdot \vec{R}}. \quad (61-6)$$

تصف هذه المعادلة كيفية تحول السويات الذرية،  $E_n$ ، إلى عصابة طاقية عند انتظام الذرات في شبكة بلورية.

▪ **تعين الآن بنية عصابات الطاقة هذه لسلسلة ذرية أحادية- $s$  بعد، بثابت شبكة  $a$ ، على فرض أن العصابة الطاقية تنتج من المدارات الذرية- $s$  ذات الطاقة  $E_s$  :**

▪ عملياً، تتطلب المعادلة (61-6) إجراء الجمع على كل المواقع (العقد) البلورية، ولكن طالما أن التوابع الموجية تتناقص بسرعة كبيرة جداً بعيداً عن موقع،  $\vec{R}$ ، تمركزها، يكون كافياً إهمال كل المساهمات في عملية الجمع- هذه المساهمات التي تتضمن متجهات شبكة بلورية أكبر من وحدة خلية واحدة بعيداً عن المبدأ.

▪ بهذا الشكل، نجد أن عملية الجمع في المعادلة (61-6) تقتصر فقط على أقرب المجاورات لذرة، عند  $+a$  و  $-a$ .

▪ أضف إلى ذلك، بما أن التوابع الموجية الذرية- $s$  متاظرة كروياً، فإن  $\gamma_s(a) = \gamma_s(-a)$ ، ومن ثم نستطيع كتابة المعادلة الآتية:

$$E_s(\vec{k}) = E_s - \beta_s - \gamma_s (e^{ika} + e^{-ika}) = E_s - \beta_s - 2\gamma_s \cos ka, \quad (62-6)$$

حيث  $\beta_s$  هي قيمة  $\beta$  المحسوبة من أجل هذه العصابة- $s$ .

▪ هذه النتيجة المماثلة بالمعادلة (62-6) هي العصابة الطاقية الأدنى المرسومة في الشكل (11-6):

▪ فالعصابة- $s$  تملك أدنى طاقة عند النقطة  $k = 0$  وأقصى طاقة عند النقطة  $k = \pi/a$ ، أي أنها تقع في حدود منطقة بريليوان الأولى.

► نلاحظ أن **التبعد الطاقي** الذي يظهر في الشكل (6-11)، وبطبيعة الحال في المعادلة (6-62)، مشابه جداً للعصابة الطاقية الأدنى المحسوبة في تقرير الإلكترون شبه-الحر، في الشكل (6-9d)، بصرف النظر عن طريقة حسابها المختلفة كلية.

► مركز العصابة- $s$  هنا منزاح عن الطاقة الذرية  $E_s$  بمقدار  $\beta_s$ ، وعادةً يكون هذا الانزياح صغيراً جداً. يُعد **تعميم** هذه النتجة لتشمل سويات طاقة ذرية أخرى بسيطاً، والشكل (6-11) يوضح أيضاً نتيجة الحساب من أجل العصابة الطاقية التالية، الناتجة من **السوية الذرية-p**. ونرى مرة أخرى، أن هذه العصابة مشابهة جداً لنتيجة تقرير الإلكترون شبه-الحر، التي يوضحها الشكل (6-9d).

وجدنا هنا أيضاً فجوة عصابة طاقية عند النقطة  $k = \pi/a$ : **تُحدد أبعاد** هذه الفجوة:

- بالفاصل الطاقي بين السويات- $s$  والسويات- $p$ ،

- والفارق بين الانزياحين  $\beta_s$  و  $\beta_p$ ، وعرض العصابتين الطاقيتين.

من المهم دراسة العوامل التي تؤثر في العرض الطاقي المطلق لعصابة من العصابات الطاقية. يعطى هذا العرض في نموذج البعد الواحد، الذي ندرسه في هذه الفقرة، بالكمية  $2\gamma_s$ ، حيث **ينشأ العامل 2** من عدد المجاورات الأقرب للذرة المقطعة؛ **ينشأ الحد  $\gamma_s$**  من تراكب التوابع الموجية والكمون.

✓ فالعدد التساندي Coordination Number العالي للذرات، الذي يكون متواافقاً عادةً في البنى المتراسمة للمعادن، يُنتج عرض عصابة طاقة كبيراً.

✓ لقيمة  $\gamma_s$  أهمية أكبر عادةً في تحديد عرض العصابة الطاقية **بسبب التناقص الشديد جداً** للتتابع الموجية عند ابعادها عن النواة.

✓ فمن أجل بنية ما معطاء، **سيؤدي** تابع موجي ذري ما **متوسط بشدة بجوار النواة** إلى عصابة طاقة أضيق بشكل ملحوظ من عصابة الطاقة التي يؤدي إليها تابع موجي أقل توضعاً.

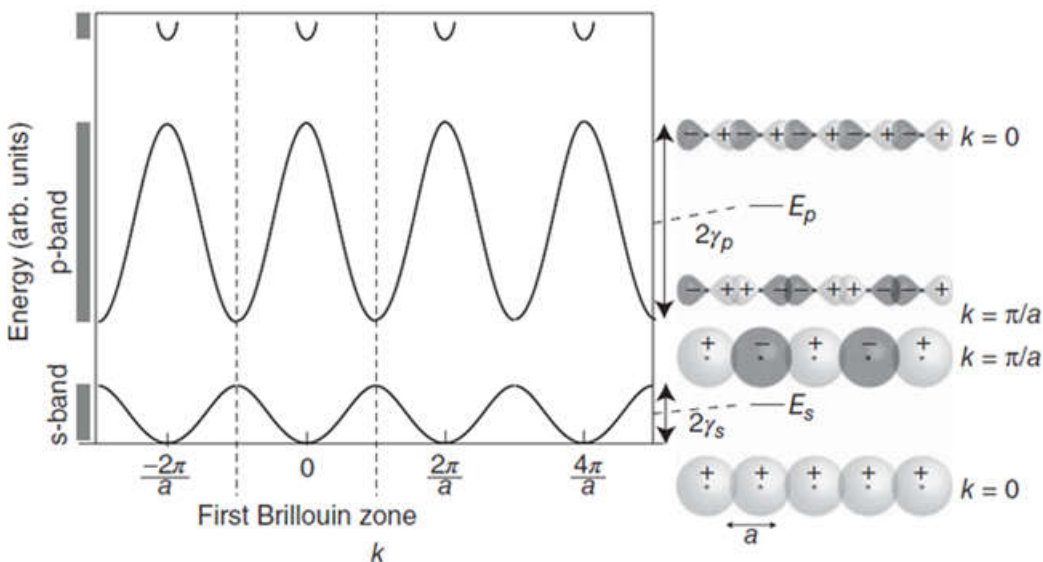
✓ فعلى سبيل المثال: تؤدي **سوية ذرية-3d** إلى عصابة طاقة أضيق بكثير من تلك العصابة التي تؤدي إليها **السوية-4s**، على الرغم من أن السويات الذرية متتشابهة جداً بالطاقة.

✓ ثمة حالة **حديّة** (حرجة) لتتابع موجي متواضع، تتمثل في **السوية الداخلية (1s)** لذرة **ثقيلة**: فالتابع الموجية  $1s$  للذرات المجاورة لا تتركب على الإطلاق في الجسم الصلب والعصابة- $1s$  الناتجة، تمتلك عرضاً قريباً من الصفر، أي أنها مستوية بالكامل؛ إذ تحقق سلوكها الذري المتواضع.

وأخيراً، من المهم بمكان تمثيل تتابع بلوح الموجية (6-54) في نموذج الترابط الشديد. يُظهر الشكل (6-11) موجات بلوح هذه من أجل العصابتين- $s$  و- $p$  عند النقطة  $0 = k = \pi/a$ ، وحدّ منطقة بريليون،

■ فمن **أجل  $k = 0$** ، كل تابع من التتابع الأُسيّة في المعادلة (6-54) يساوي للواحد وعندها يُمثل التابع الموجي  $(\vec{r}_k)$  ببساطة مجموعاً، يجري على المدارات في جميع عقد الشبكة البلورية. وهذا يؤدي، من أجل المدارات- $s$  إلى ازدياد الكثافة الاحتمالية بين الذرات، أي إلى نوع من "المدار الجزيئي الرابط".

■ **أما من أجل  $k = \pi/a$** ، فتؤدي التتابع الأُسيّة في المعادلة (6-54) إلى **تغيير الإشارة**، عند الانتقال بمقدار ثابت شبكة واحد،  $a$ ، على طول السلسلة الذرية. وهذا ما تم الإشارة إليه في الشكل (6-11)



**الشكل (6-11):** عصابات طاقة من أجل جسم صلب وحيد بعد تم حسابها بوساطة تقرير الربط المحكم. تُظهر الجهة اليمنى توابع بلوك الموجية من أجل العصابة-s والعصابة-p عند  $k = 0$  و  $k = \pi/a$ . ترمز النقط السوداء إلى موقع النوى واللون الرمادي المختلف التابعين يرمز إلى إشارة التابع الموجي.

**بتوابع موجية متوضعة** (موجية) بلون رمادي فاتح و (سالبة) بلون رمادي غامق. وهذا بدوره، يؤدي لاستنفاد الكثافة الاحتمالية بين الذرات، أي إلى "مدار جزيئي ضعيف الترابط". "Anti-bonding". وهذا ما يتحقق مع الطاقات في العصابة-s:

- ✓ فالطاقة من أجل الحالة الرابطة عند  $k = 0$  منخفضة؛
- ✓ والطاقة من أجل الحالة غير الرابطة عند  $k = \pi/a$  عالية.

**والعكس صحيح من أجل العصابة-p:** إشارة التابع الموجي-p الذري تتغير عند الانقلاب المكاني (تملك قطبية فردية)، ولهذا السبب، تؤدي إضافة المدارات-p المتوقفة في الطور من أجل  $k = 0$  إلى حالة عكسية الترابط. أمّا إضافتها مع تغير الإشارة في كل عقدة أخرى، من أجل  $k = \pi/a$ ، فتؤدي إلى حالة رابطة. وهذا ما يتحقق مرة أخرى مع التبدد المحسوب. يمكننا أيضًا ربط هذا التوصيف بتقسيم التوابع الموجية، في نموذج الإلكترونات شبه-الحرة، بجوار حد منطقة بريليون في الشكل (6-10).

- **يُوافق** التابع الموجي (+) الذي يمتلك الطاقة الأخفض، عند النقطة  $k = \pi/a$ ، التابع الموجي s، الذي يتحقق هنا مع تراكم الكثافة الاحتمالية بالقرب من القلوب الأيونية.
- أمّا التابع الموجي (-) الذي يؤدي إلى الحالة الطاقية الأعلى عندما  $k = \pi/a$ ، ذات عقدة الكثافة الاحتمالية عند القلوب الأيونية **فيُوافق** التابع الموجي p، الذي يمتلك عقدة هنا أيضًا.

- تجدر الإشارة إلى أن هذه المقارنة هي مقارنة وصفية أي أن الكثافات الاحتمالية الإجمالية في نموذج الإلكترونات شبه- الحرء، وفي نموذج الترابط الشديد ليست نفسها على الإطلاق، ومع ذلك، فإن هذه المقارنة توضح تناغم بعض التفاصيل في كلا التوصيفين.

محاضرات فيزياء الحالة الصلبة